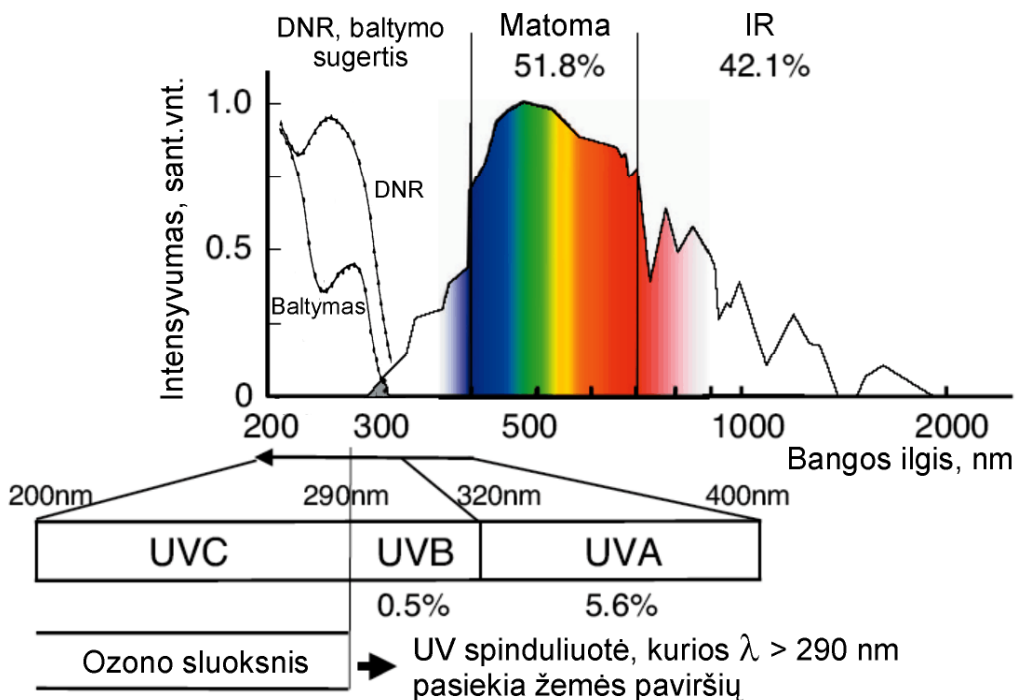


6. BIOLOGINIŲ MOLEKULIŲ FOTOPAŽAIDOS

Pagrindinis fotochemijos principas, kurį pirmą kartą suformulavo Teodoras Grotus (Grotthus) ir Draperis (Draper) 1818 metais, skelbia, kad tik sugerta šviesa gali sukelti medžiagos cheminį pokytį. Taigi, pirmoji fotocheminės reakcijos stadija yra fotono sugertis molekulėje, jai virstant sužadinta. Tolesni vyksmai priklauso nuo molekulės struktūros, šviesos bangos ilgio ir nuo kitų reakcijos sąlygų. Dalis sužadintų molekulių grįžta į pagrindinę būseną, perteklinės energijos netekdamos įvairių relaksacijos procesų, pvz., fluorescencijos ar vidinės konversijos, būdu (žr. 1.7.5 poskyri). Molekulei relaksuojant, taip pat gali įvykti ir fotocheminis vyksmas (žr. (5.5 skyrių), jo metu susidariusio fotocheminio produkto kvantinis našumas yra apibrėžiamas kaip tikimybė, kad pradinei molekulei sugėrus vieną fotoną, susidarys viena fotoproducto molekulė. Iškart po sugerties vyksmo susidarę chemiškai reaktyvūs dariniai vadinami pirmniais produktais, dažniausiai tai molekulės sužadintoje metastabilijoje būsenoje arba laisvieji radikalai. Daugeliu atvejų šviesa tolesnių reakcijų eigai neberekalinga, ir tokios reakcijos vadinamos “tamsinėmis”. Tad fotobiologiniai procesai organizme vyksta pakopomis, pradedant labai greitais fotofizikiniais virsmais (10^{-15} s – 0,1 s), juos lydinčiomis tamsinėmis cheminėmis reakcijomis (0,1 μ s - 1s) ir galiausiai baigiasi santykinai lētais (1 ms – 10^6 s) fiziologiniais vyksmais.

Svarbiausios mūsų organizmo bespalvės molekulės, nukleino rūgštys ir baltymai, intensyviai sugeria ultravioletinę spinduliuotę (UV) (6.1 pav.), todėl ji sukelia įvairias fotochemines reakcijas, dažnai sąlygojančios šių molekulių pažaidas. Artimąją (ilgabangę) UV spinduliuotę sugeria “trumpos” žiedinės konjuguotos sistemas – tiek aromatinės, tiek heterociklinės (žr. 1.7.2 poskyri). Taigi, artimąją UV intensyviai sugeria aromatinės amino rūgštys – tirozinas, fenilalaninas ir triptofanas. Daugumos baltymų sugertis šioje spektralėje yra sąlygota būtent šių trijų amino rūgščių grupių. Taip pat artimąją UV spinduliuotę intensyviai sugeria purino ir pirimidino bazės – pagrindiniai DNR struktūros komponentai.

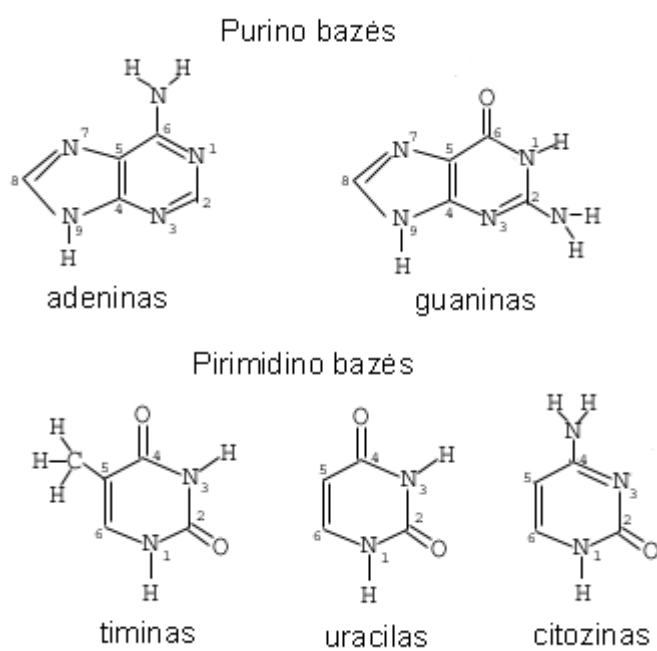


6.1 pav. Saulės spektras Žemės paviršiuje. Procentais nurodyta, kokią Saulės spektro dalį sudaro tam tikros srities spinduliuotė. Ultravioletinė spinduliuotė sudaro tik apie 6% Saulės spinduliuotės, pasiekiančios Žemės paviršių, ir apie 90% šios spinduliuotės yra ilgesnės, UVA bangos.

Trumpesnę ultravioletinę spinduliuotę sugeria beveik visos biologinės molekulės. Pavyzdžiui, UVC spinduliuotę sugeria ne tik visos amino rūgštys, bet ir baltymo peptidinė jungtis, kuriai būdingos dvi sugerties juostos: viena labai intensyvi ties 190 nm, kita, silpnesnė – ties 220 nm. Tačiau UVC spinduliuotė žemės paviršiaus nepasiekia, nes yra sugerama ozono molekulių viršutiniuose atmosferos sluoksniuose.

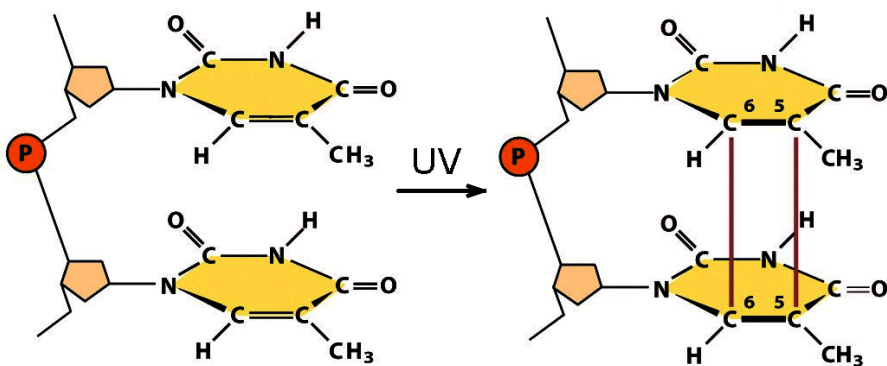
6.1. UV poveikis nukleino rūgštims (DNR ir RNR)

Pagrindiniai chromoforai, sugeriantys UV spinduliuotę nukleino rūgštyse, yra purino (adeninas ir guaninas) ir pirimidino (citozinai ir timinas – DNR, citozinai ir uracilas – RNR) nukleotidų azotinės bazės (6.2 pav.). Šie junginiai sugeria UV trumpabangę spinduliuotę iki 300 nm. Sugerties sritį salygoja žiedo π -elektronų sistema ($\pi - \pi^*$ šuolis). Bazių sugertis ($\lambda_{\text{maks}} = 260$ nm), salygota $\pi - \pi^*$ šuolių, pasižymi dideliu molinės ekstinkcijos koeficientu. Nežymią įtaką sugerties juostoms taip pat turi ir $n - \pi^*$ šuoliai, kuriuose dalyvauja laisvos elektronų poros azoto ir deguonies atomuose. Geriausiai ji pastebima poliniuose tirpikliuose, tuomet azotinių bazių sugerties spektruose šie šuoliai pasireiškia juostų išplitimu 280-320 nm srityje. Žymų poveikį bazių sugerties juostų padėčiai, o pirmiausia – $\pi - \pi^*$ ir $n - \pi^*$ šuolių santykinei energijai turi pakaitų grupės purino ir pirimidino žieduose.



6.2 pav. Azotinės bazės, esančios DNR ir RNR sudėtyje.

Eksperimentiškai įrodyta, kad tirpaluose purino bazės yra žymiai atsparesnės UV poveikiui negu pirimidino bazės. Taigi, nukleino rūgštys dažniausiai pažeidžiamos dėl pirimidino bazių fotolabilumo. Pagrindinės fotocheminės reakcijos, kurias UV spinduliuotė sukelia DNR molekulėje, yra cheminių jungčių tarp gretimų pirimidino bazių susidarymas. Geriausiai ištirti ir dažniausiai susidarantys yra timino fotodimerai – ciklobutano tipo dimerai ir neciklininiai 6-4 tipo (skaičiai žymi anglies atomų padėtis žieduose) fotoproductai, vadinamieji aduktai.



6.3 pav. Timino ciklobutano tipo (*cis-syn*) dimero susidarymas DNR grandinėje tarp gretimų timinų

Nukleino rūgščių sugerties spektrai susidaro iš jų sudėtyje esančių bazių sugerties juostų ir pasižymi suvidurkinta sugerties juosta, kurios smailė, priklausomai nuo nukleotidų sudėties, yra 255 - 270 nm srityje. Tačiau nukleino rūgščių ir ekvivalentiško nukleotidų mišinio sugerties spektrai šiek tiek skiriasi. Nuo adityvumo principo (žr. 1.7.4 poskyrij) šiuo atveju nukrypstama dėl tvarkai išsidėsčiusių bazių sąveikos dvigrandėje spiralėje.

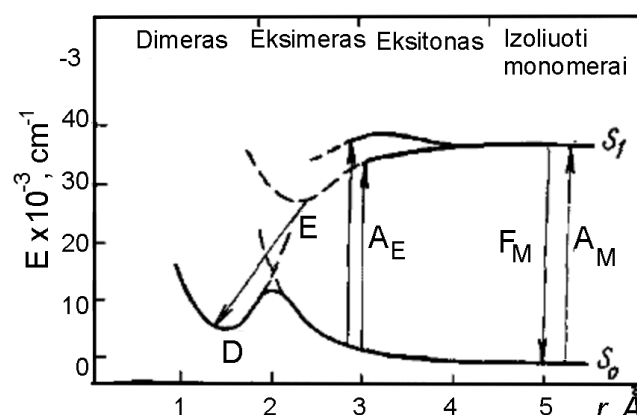
Rečiau pasitaikančios ir mažiau ištirtos UV spinduliuotės sukeltos reakcijos yra kitų pirimidino bazių (uracilo ir citozino) homodimerų bei heterodimerų susidarymas, fotohidratacija, DNR susiuvimai, DNR-baltymo susiuvimai, DNR trūkiai.

6.1.1. Pirimidino dimerų susidarymas

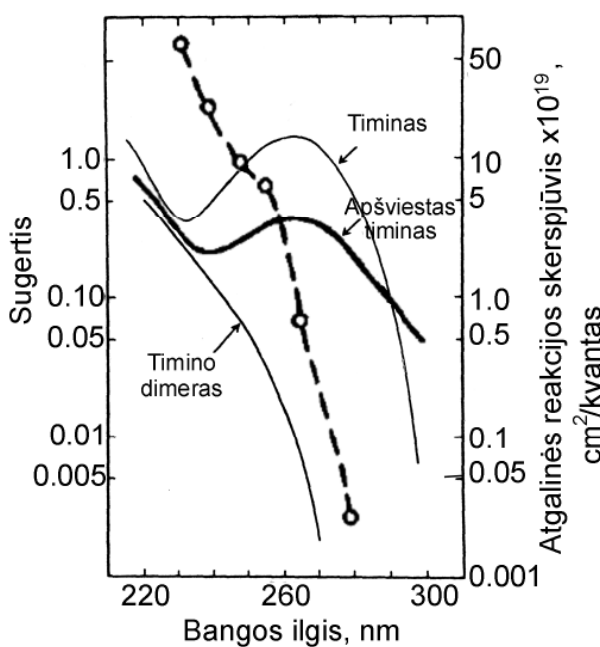
Timino dimerizacija. Timino fotodimerizacijos reakcija DNR grandinėje vyksta tarp dviejų kaimyninių timinų, kuomet, nutrūkus 5,6-dvigubam ryšiui (6.3 pav.), susidaro ciklobutano žiedas. Veikiant UV spinduliuote modelines sistemas, pavyzdžiui, timidil-timidino tirpalą, buvo išskirti keturi timino ciklobutano tipo dimerai – du *cis*- ir du *trans*-izomerai, tačiau praktiškai randamas tik *cis-syn* dimeras.

Kadangi timino dimerizacijos reakcija yra antrojo laipsnio (dalyvauja dvi vienodos molekulės), jos kvantinis našumas labai priklauso nuo timino koncentracijos bei molekulių tarpusavio orientacijos sužadinimo momentu. Manoma, kad būtent dėl pastarosios salygos fotodimerizacijos reakcijos kvantinis našumas būna žymiai didesnis žemose temperatūrose. Dėl orientacinio veiksnio timino dimerų susidarymo tikimybė priklauso ir nuo antrinės bei tretinės DNR spiralės struktūros. Pavyzdžiui, buvo įvertinta, kad dimerizacijos salygos palankiausios esant tokiai DNR konformacijai, kai gretimi timinai vienas kito atžvilgiu (plokštumomis) išsidėstę 36° kampu. Susidariusių timino dimerų kiekį taip pat apsprendžia greta viena kitos esančių timino bazių skaičius DNR grandinėje.

Tirpaluose timino dimerizacijos reakcija yra grįžtama, o dinaminė pusiausvyra tarp timino monomerų ir dimerų priklauso nuo švitinimo bangos ilgio. Toks atsakas gaunamas dėl skirtinės timino ir jo dimero sugerties spektrų (6.4 pav.) Švitinant DNR tirpalą ilgesnių bangų UV spinduliuote (~280 nm), labiau tikėtinai dimero susidarymas, tuo tarpu veikiant trumpesnių bangų spinduliuote (~240 nm), monomerų tirpale liks daugiau. Dėl šių priežasčių UV spinduliuote apšviestose *E. coli* bakterijose, kur teoriškai galėtų dimerizuotis 30-40 % timinų, praktiškai, net ir po didelių UV spinduliuotės ties 254 nm švitinimo dozių, dimerizuojasi tik 15 % timinų.



6.5 pav. Sąveikos tarp timino molekulių potencinės energijos kreivės. E – eksimeras, D – dimeras. Pagal [Lamola, 1968].



6.4 pav. Timino, apšviesto timino, timino dimerų sugerties spektrai, bei reakcijos dimeras \rightarrow monomeras veikimo spektras (punktynė linija). Adaptuota iš [R. Setlow, *Biochim. Biophys. Acta*, 49, 237 (1961)]

timinų dimerizacijos reakcija. Taigi, remiantis eksperimentiniais duomenimis, timino dimerizacija vyksta, timinui reakcijoje dalyvaujant sužadintoje tripletinėje būsenoje.

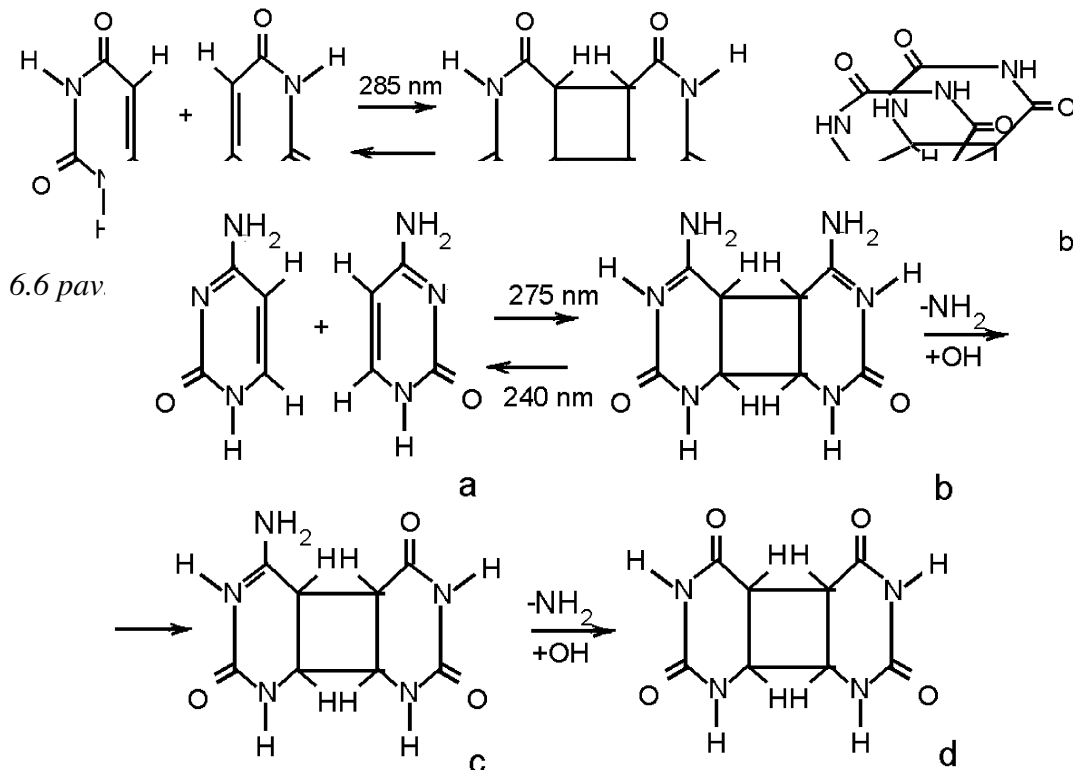
Manoma, kad timino dimerai susiformuoja betarpiskai per tripletinį eksimerą [Lamola, 1968] (6.5 pav.). Išvengdamas nestabilios cheminės būsenos, eksimeras iš karto virsta stabiliu fotocheminiu produkту – dimeru. Dvieju timino molekulių sąveika, esant optimaliam išsidėstymui, priklauso nuo atstumo tarp molekulių. Kai atstumas tarp timinų 3-4,5 Å, vyksta sąveika tarp eksitoninių būsenų, užpildant abu eksitoninius lygmenis. Jei molekulės dar labiau suartėja (~2,8 Å), iš žemesnės eksitoninės būsenos susidaro eksimeras, kuris tiesiogiai virsta stabiliu dimeru.

Kitų pirimidino bazių dimerizacija vyksta panašiai, kaip timino atveju, tačiau šių reakcijų kvantinis našumas yra daug mažesnis negu timino dimerizacijos.

Uracilo dimerizacija. Kaip ir timinas, veikiamas UV spinduliuote uracilas formuoja dimerus per ciklobutano žiedą (6.6 pav.) ir labiausia tikėtina konformacija taip pat yra *cis*-tipo izomeras. Uracilo dimerizacijos reakcija tirpaluose taip pat yra grįztama. Tiesioginės ir atvirkštinės reakcijos kvantinis našumas priklauso nuo švitinimo bangos ilgio. Poliuracilo rūgščiai maksimalus tiesioginės reakcijos kvantinis našumas yra 0,1 (šviečiant ties 248 nm), o atvirkštinės – 0,45 (ties 230 nm).

Timino dimerizacijos fotofizika.

Eksperimentiškai įrodyta, kad 1) tripletiniai gesikliai (O_2 , paramagnatiniai jonai) stabdo timino fotodimerizaciją, 2) mažinant timino tripletinės būsenos užpildą (sukūrus triplet-singuletinę energijos migraciją iš DNR timino į dažą proflaviną) taip pat mažėja reakcijos našumas, 3) dimerai susidaro ir praskiestuose timino tirpaluose, kai laiko tarpas tarp molekulių susidūrimų yra daug ilgesnis už singuletinės būsenos gyvavimo laiką (10^{-12} s), bet palyginamas su tripletinės būsenos gyvavimo laiku (10^{-6} s), 4) užpildant timino tripletinę būseną per triplet-tripletinį energijos pernešimą nuo acetofenono į DNR timiną vyksta



6.7 pav. Citozino virsmai, veikiant tirpalą UV spinduliuote. a – citozino monomerai, b – citozino dimeras, c – mišrus uracilo-citozino dimeras, d – uracilo dimeras.

Manoma, kad uracilo fotodimerizacijos reakcija taip pat vyksta per tripletinę būseną, nes uracilo fotodimerizacijos reakcija lėtėja, įdėjus tripletinės būsenos gesiklių, o panaudojus sensibilizatorius selektyviai uracilo tripletinės būsenos žadinimui, ši reakcija greitėja.

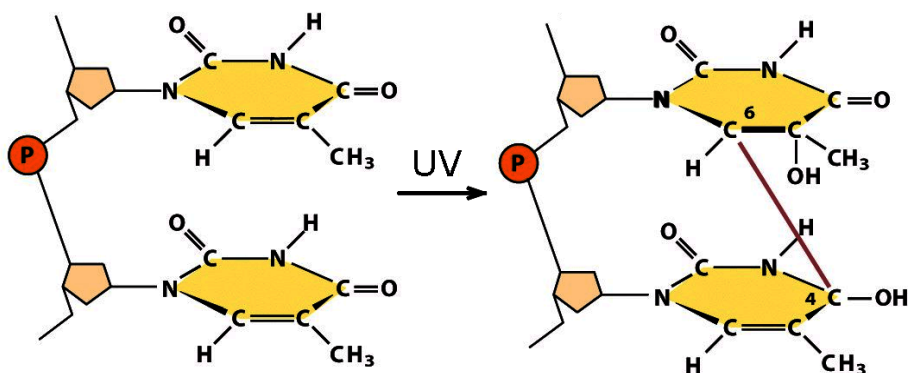
Citozino dimerizacija. Citozino fotodimerizacijos reakcija stebėta tirpaluose veikiant UV spinduliuote citoziną, citidil-citidiną, piliuridilcitidilo rūgštį ir DNR. Veikiant trumpesnių bangų UV spinduliuote, citozino dimerai monomerizuojasi. Tamsoje citozino dimerai irgi yra nestabilūs. Kuomet įsotinama 5, 6 jungtis, jie greitai deaminuoja, virsdami uracilo dimerais, arba gali monomerizuotis (6.7 pav.). Dėl šių priežasčių citozino dimerų išskyrimas yra gana sudėtingas.

Skirtingų pirimidino bazių dimerizacija. Apšvietus nukleotidų ir DNR tirpalus, susidaro mišrūs ciklobutano tipo timino-citozino, timino-uracilo ir uracilo-citozino dimerai. Timino-citozino fotodimeras yra *trans* izomeras. Veikiant šviesa, jis į monomerus nesuskyla. Timino-uracilo dimero susidarymas DNR grandinėlėje gali atrodyti keistai, nes DNR sudėtyje uracilo nėra, tačiau ši prieštara paaiškinama tokia schema:

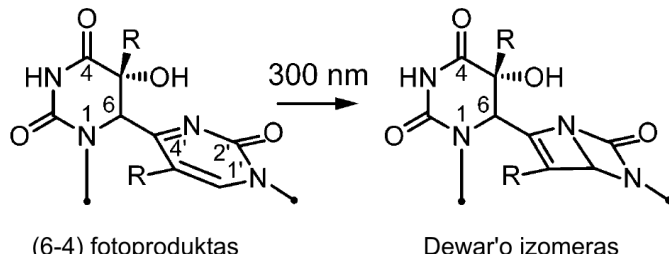


t. y. tamsoje citozinas, esantis mišriame dimere, deaminuoja ir virsta uracilu.

Pirimidino aduktai. Veikiant nukleotidus UV spinduliuote, gali susidaryti ne tik ciklobutaniniai pirimidino dimerai, bet ir įvairūs necikliniai homo- bei heterodimerai, kurie vadinami pirimidino aduktais (kad dviejų vienodų molekulių junginį būtų galima vadinti dimeru, jo molekulinė masė turi būti dvigubai didesnė negu monomero, kitu atveju jis vadinamas aduktu) (6.8 pav.). Pavyzdžiui, apšvietus UV spinduliuote DNR arba užšaldytą timino tirpalą, pasikeičia timino sugerties spektras. Lyginant su monomerinio timino



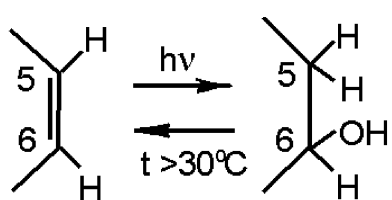
6.8 pav. Timino (6-4) fotoprodukto susidarymas.



6.9 pav. Fotoprodukto (6-4) Devaro izomero susidarymas.

sugertimi, susidariusio produkto sugerties juostos smailė yra paslinkta 40 nm į ilgabangę pusę, ties 320 nm. Toks sugerties pokytis būdingas iš dviejų timino bazių susidarant necikliniam timino dimerui- (6-4) timino aduktui. Manoma, kad aduktai susidaro ne per tripletinę būseną, bet per singuletinę būseną, kadangi, iðėjus timino tripletinės būsenos donorui, jie aduktų susidarymo nesensibilizuoją.

UV spinduliuote apšviestoje DNR randami timino-citozino, citozino-citozino ir timino-timino (6-4) aduktai, tačiau nerasta citozino-timino adukto. Be to, lyginant su ciklobutano tipo pirimidino dimerais, aduktų susidarančių veikiant UV, nėra daug, t.y. jų susidarymo



6.10 pav. Fotohidratų susidarymo schema.

našumas yra vidutiniškai 100 kartų mažesnis negu ciklobutano tipo pirimidino dimerų. Tačiau, skirtingai nuo ciklobutaninių pirimidino dimerų, aduktų susidarymo reakcija nėra grįžtama. Susidariusius (6-4) pirimidino aduktus apšvietus 300-350 nm spinduliuote, jie beveik visi virsta Devaro (Dewar) izomerais (6.9 pav.). Tad natūralaus apšvietimo sąlygomis didžioji dalis susidariusių (6-4) pirimidino aduktų yra Devaro izomerai.

6.1.2. Pirimidinų fotohidratacija

Pirimidinų fotohidratacijos reakcija vyksta prisijungiant vandeniu i prie pirimidino žiedo 5,6-dvigubo ryšio, ir jį nutraukiant (6.10 pav.). Daugiausia fotohidratų susidaro uracilo tirpale, mažiau citozino ir timino tirpaluose. Taip pat fotohidratai rasti pirimidino bazių di- ir polinukleotidų tirpaluose, bei RNR ir DNR grandinėlėse. Būdinga tai, kad pirimidino hidratai efektyviai susidaro ne dvigrandėje, bet viengrandėje DNR. Hidratacijos reakcija negrižtama. Todėl poliuridilo rūgštį ilgai arba intensyviai švitinant UV spinduliuote (240-270 nm), bandinyje praktiškai randami tik hidratai.

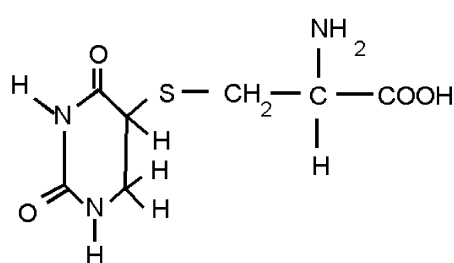
Skirtingai nei dimerai, hidratai sujra tamsoje, pakėlus terpęs temperatūrą, pakeitus pH (tieki parūgštinus, tieki pašarminus), arba padidinus tirpalo joninę jėgą. Tirpale timino fotohidratacijos reakcijos kvantinis našumas – 0,002, poliuridilo rūgštyste – 0,01.

Remiantis eksperimentiniais įrodymais, manoma, kad fotohidratų susidarymas vyksta per sužadintą singuletinę pirimidino bazių būseną, kadangi, pirma, fotohidratacijos našumas nepriklauso nuo švitinamo bangos ilgio, nors perėjimo į tripletinę būseną tikimybė nuo bangos ilgio priklauso; antra, tripletiniai gesikliai, įtakojantys dimerizacijos greitę, pasirodė besę neveiksmingi hidratacijos atveju, trečia, fotohidratacija nevyksta selektyviai sužadinant azotinių bazių tripletinę būseną.

Kadangi pirimidinų fotohidratai susidaro viengrandėje DNR, gyvose ląstelėse jų susidarymas įmanomas vykstant DNR replikacijai arba/ir transkripcijai. Galimas pirimidino hidratų vaidmuo sukeliant mutacijas buvo pademonstruotas modelinėje sistemoje *in vitro* [Bockstahler *et al.*, 1984], tačiau jų susidarymui *in vivo* pagrįsti reikia tolimesnių tyrimų.

6.1.3. Molekulių prijungimas prie DNR grandinės

Vidiniai ir tarpmolekuliniai DNR susiuvimai. Apie vidinius tarp dviejų komplementarių DNR grandinių atsirandančius kovalentinius susiuvimus liudija faktas, kad



6.11 pav. 5-cistein-6-hidouracilas.
naudoja viengrandę DNR.

apšvietus UV spinduliuote, DNR grandinė tirpale neišsivynioja iki atskirų grandžių, netgi veikiant denatūracijos faktoriams, kurie salygoja vandenilinių ir kitų nekovalentinių jungčių išardymą. Pavyzdžiui, paveiktos UV, o paskui denatūruotos DNR molekulės yra atsparios fosfodiesterazės poveikiui, kuri kaip substratą

Skersinių susiuvimų veikimo spektras sutampa su timidino sugerties spektru, tai patvirtina prielaidą, kad susiuvimo vietoje susidaro timino-timino dimerai. Be to, įrodyta, kad susiuvimų susidarymo kvantinis našumas tuo didesnis, kuo daugiau DNR sudėtyje yra adenino ir timino. Kaip ir timino dimerai, susiuvimai fotoreaktyvuojasi.

Yra užregistruoti ir tarpmolekuliniai DNR-DNR susiuvimai, tačiau tik sausuose DNR bandiniuose. Nustatyta, kad tarpmolekulinį susiuvimų kvantinis našumas siekia 0,01. Manoma, kad dėl DNR-DNR susiuvimų taip pat atsakingi timinų dimerai, tačiau ne ciklobutaninio tipo.

Susiuvimai DNR – baltymas. Pirmieji duomenys apie tai, kad fotochemiškai susidaro kovalentiniai susiuvimai tarp DNR ir baltymo, buvo paskelbti pastebėjus, kad UV poveikyje žymiai pablogėja DNR ekstrakcija iš *E. coli*. Lizuotas ląsteles paveikus tripsinu (baltymus skaidančiu fermentu) ekstrakcijos galimybės pasiekdavo įprastą lygmenį. Vėliau tokie susiuvimai buvo gauti ir *in vitro* DNR-albumino mišinyje.

Šviesos akceptoriais šiuo atveju gali būti abu komponentai - susiuvimas vyksta prieš sumaišymą atskirai sužadinus tiek baltymą, tiek DNR. Šis faktas leidžia manyti, kad susiuvimas vyksta ne per singuletinę ar tripletinę sužadintų chromoforų būseną, o susidarant ilgai gyvuojantiems produktams, tikėtina, laisvujų radikalų prigimties.

Remiantis atliktais pirmaisiais modeliniais eksperimentais buvo manoma, kad DNR ir baltymo susiuvimas vyksta pirmiausia dalyvaujant cisteinui. Buvo išskirtas ir identifikuotas stabilus uracilo ir cisteino produktas – 5-cistein-6-hidouracilas (6.11 pav.).

Vėliau paaiškėjo, kad modelinėse salygose, be cisteino, prie uracilo, veikiant UV spinduliuote, gali kovalentiškai jungtis dar bent dešimt amino rūgščių. Savo ruožtu, veikiamas UV spinduliuotės, timinas taip pat pasižymi dideliu reakcingumu jungiantis su amino rūgštimis. Manoma, kad baltymų aminorūgštys per SH- arba OH- grupes jungiasi prie penkto (arba šešto) azotinių bazių (timino arba uracilo) anglies atomo.

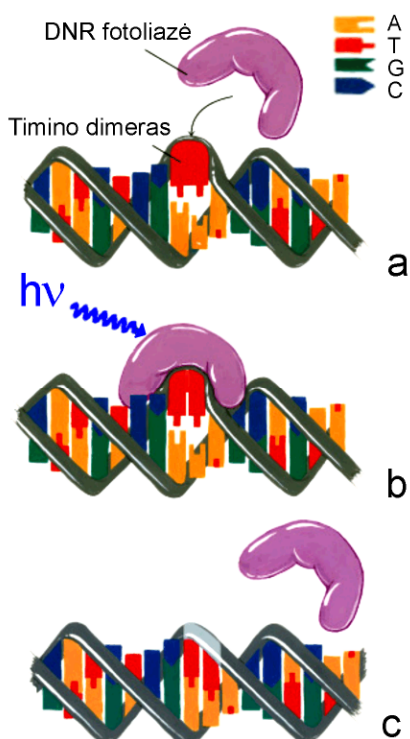
6.1.4. DNR grandinėlės trūkiai

DNR trūkiai (dažniausiai tik vienos grandinėlės) stebimi tik paveikus DNR didele UV spinduliuotės doze. Be to, trūkių kvantinis našumas yra trimis eilėmis mažesnis, lyginant su pirimidino bazių dimerizacija. Pavyzdžiui, tabako mozaikos viruso DNR grandinės trūkių kvantinis našumas $3,5 \cdot 10^{-6}$.

6.1.5. DNR fotopažaidų atstatymo mechanizmai

Esant tam tikroms sąlygoms, pažeista DNR vieta gali būti atstatyta. Atstatymas gali vykti chemiškai arba dalyvaujant fermentams. Cheminis atstatymas gali vykti spontaniškai atsistatant pažeistai struktūrai, pvz., pirimidino fotohidratų dehidratacija.

Fotoreaktyvacija – tikriausiai pats paprasčiausias ir seniausias evoliucijos požiūriu



6.12 pav. Fotoreaktyvacijos modelis. DNR grandinėje fotoreaktyvuojantis fermentas (DNR fotolazė) prisijungia prie pirimidino dimero, sudarydamas fermento-substrato kompleksą (a). Spinduliuotės tarp 300 ir 450 nm sugertis aktyvuoja šį kompleksą (b), pirimidino dimeras paverčiamas monomeriniais pirimidiniais ir fermentas atsilaisvina (c).

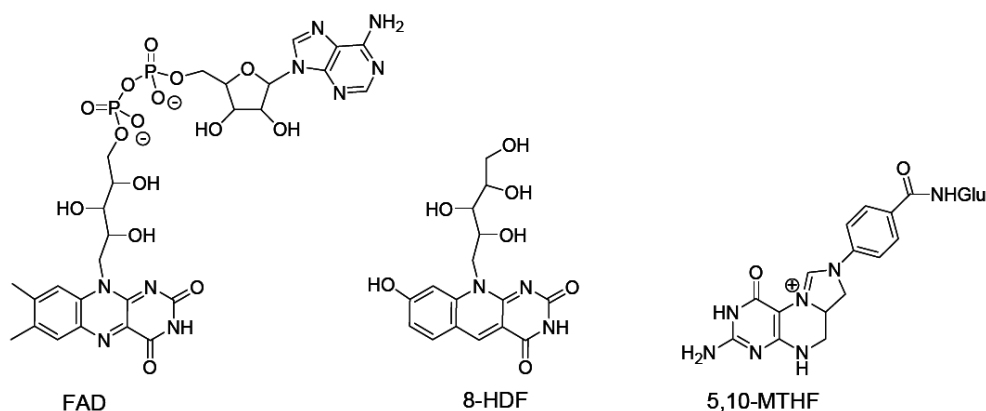
kofaktorius – redukuota flavino molekulė (FADH^-), o kitas – šviesą sugeriantis chromoforas (6.13 pav.). Fermentui prisijungus prie pirimidino dimerų, pastarasis chromoforas sugeria

DNR pažaidų atstatymo mechanizmas, vykstantis dalyvaujant tik vienam atstatančiam fermentui, kuris aktyvuojamas šviesa. Dar 1949 m. Kelneris (Kelner) pastebėjo, kad UV apšviestų bakterijų išgyvenamumas žymiai padidėja, jeigu laštelių po to buvo apšviestos intensyvia mėlyna šviesa [Kelner, 1949]. 1958 m. Rupertas (Rupert) ir kt. pademonstravo, kad egzistuoja fotoreaktyvuojantis fermentas – fotolazė ir ištyrė pagrindines jo savybes. Tamsoje fermentas stipriai prisijungia prie pirimidino dimero susiformavusio dėl UV poveikio, sudarydamas fermento-substrato kompleksą. Spinduliuotė tarp 300 ir 450 nm aktyvuoja šį kompleksą, substratas paverčiamas iš dimero į du monomerinius pirimidinus, tuomet fermentas atsilaisvina. Ši reakcija schemiškai parodyta 6.12 pav.

Pirimidino dimerų suardymas vyksta dalyvaujant dviems fotolazės kofaktoriams. Vienas iš šių kofaktorių yra katalitinis

UV/mėlynos šviesos kvantą ir perduoda sužadinimo energiją FADH⁻ molekulei. Sužadintas *FADH⁻ perduoda pirimidino dimerui elektroną, ko pasėkoje dimeras sujra į pirimidino monomerus. Atstatymo ciklas baigiasi elektronui grįžus į FADH⁻.

Dauguma organizmų turi fotoliazę, kuri atpažįsta ciklobutano tipo pirimidino dimerus (CPD fotoliazė) arba 6–4 tipo pirimidino fotoproductus (6–4 fotoliazė). CPD fotoliazės, randamos įvairiuose organizmuose, gali skirtis amino rūgščių seka bei šviesą surenkančiu chromoforu.



6.13 pav. Fotoliazės kofaktoriai. Katalitinis kofaktorius – FAD (flavino adenin-nukleotidas) (fotoliazėje aktyvi redukuota FADH⁻ forma); ir šviesq⁻ surenkantis chromoforas 8-HDF (8-hidroksi-5-deazaflavinas) arba 5, 10-MTHF (5, 10-meteniltetrahidrofolipoliglutamatas).

CPD fotoliazės randamos bakterijose, kerpėse, augaluose, bestuburiuose ir daugelyje stuburinių (žuvyse, sterbliniuose), tuo tarpu 6–4 fotoliazės identikuotos vaisinėse muselėse, šilkverpiuose ir gyvatėse, tačiau nerastos *E. coli* ir mielėse [Britt et. al., 1996; Thoma, 1999]. 1974 metais Saterlendas (Sutherland) pateikė įrodymų, kad DNR fotoliazė egzistuoja ir žmogaus leukocituose [Sutherland, 1974]. Vėliau fotoliazė buvo rasta ir žmogaus odoje [Ogut et. al. 1989; Roza et. al. 1991]. Tačiau šiuose tyrimuose fotoreaktyvacijos vyksmas priklausė nuo audinių tipo, iš kurių buvo ruošiami ekstraktai [Ogut et. al., 1989] ir nuo to, kaip fotoreaktyvacija buvo sukeliama, t. y. fotoreaktyvacija buvo stebima ne po vieno ciklo – vieno apšvitinimo UV spinduliute ir po to sekusio apšvitinimo regimaja šviesa, – tačiau po trijų ciklų, vykdomų 2,5 valandų intervalu. Gauti rezultatai pademonstravo, kad 40% dimerų buvo pašalinta (L. Roza, et. al. 1991).

Taigi, nors bakterijose 90% letalių DNR pažaidų, sukeltu nedidele UV doze (254 nm), gali būti fotoreaktyvuotuos, tačiau žmogaus organizme, kaip ir daugelyje placentinių žinduolių, šis fotopažaidų atstatymo mechanizmas neveikia arba nėra efektyvus.

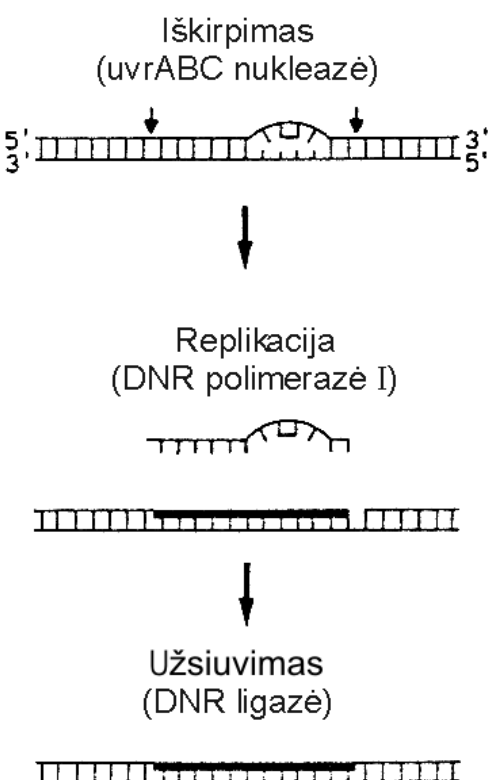
Atstatymas iškerpant (ER, *excision repair*). Žinomi du DNR ER būdai – nukleotidų atstatymas ir bazių atstatymas. Nukleotidų atstatymo mechanizmas pirmą kartą atrastas 1964 m. ir buvo vadinamas “tamsiniu” atstatymu, kad atskirti jį nuo fotoreaktyvacijos, kuri iniciuojama šviesa. Tuo tarpu bazių atstatymo iškerpant mechanizmas atrastas palyginti nesenai.

Nukleotidų ER mechanizmas susideda iš penkių pagrindinių žingsnių: DNR pažaidos atpažinimo, pažeistos DNR dalies iškirpimo, iškirpimo, nukleotidų atstatymo ir grandinėlės užsiuvimo (6.14 pav.).

Pirmasis žingsnis nukleotidų atstatyme – DNR pažaidos atpažinimas. Šiame etape vienas ar keli baltymai prisijungia prie pažeistos DNR vietas. Susidaręs baltymų ir DNR kompleksas tarnauja jungimosi centru endonukleazei, fermentui, kuris iškerpa DNR grandinėlę šalia pažeistų nukleotido(u). Pažeistas nukleotidas ir keli kaimyniniai nukleotidai yra pašalinami. Kitame žingsnyje, veikiant DNR polimerazei (*polA* geno produktas), susidaręs tarpas grandinėlėje yra užpildomas trūkstamais nukleotidais, komplementariais likusiems DNR vijoje. Kai visi nukleotidai pakeičiami, DNR ligazė užsiuva abu grandinės galus – tai paskutinis DNR atstatymo žingsnis.

Tyrimai *in vivo* parodė, kad nukleotidų ER gali vykti dviem skirtingais būdais (6.15 pav.). Atstatymas pagal aukščiau aprašytą mechanizmą (6.14 pav.) gali vykti netgi tuomet, kai ląstelės yra tik buferinėje terpėje. Antrasis būdas, kuriuo ištaisoma mažiau DNR pažaidų, priklauso nuo funkcionuojančio *recA* geno ir gali vykti tik tuomet, kai ląstelės yra augimo terpėje.

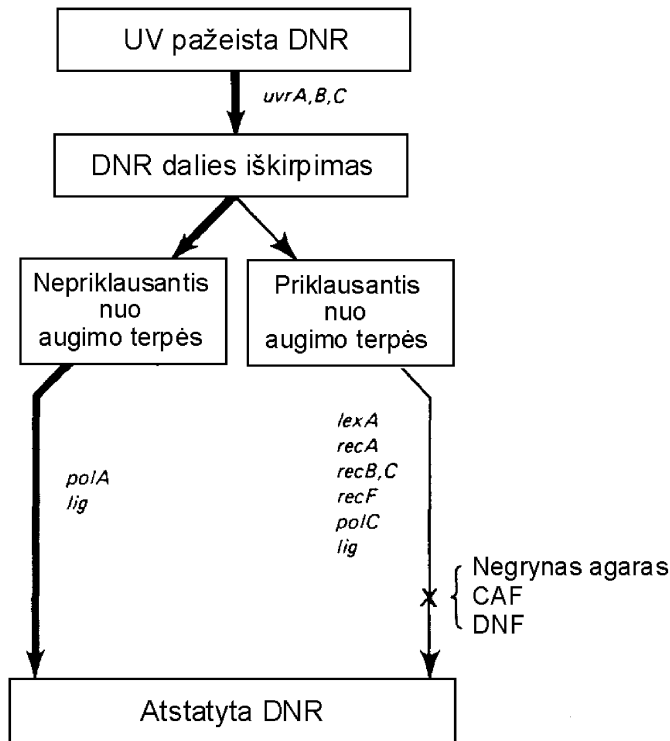
Kitas požymis, pagal kurį atskiriami šie du ER mechanizmai, yra atstatomo “lopo” dydis. Hanavoltas (Hanawalt) su kolegomis parodė, kad trumpi “lopai” (20-30 nukleotidų



6.14 pav. Pagrindinių procesų, vykstančių nukleotidų ER metu *E. coli* ląstelėse, schema. *UvrABC* nukleazė atpažista pažaidas ir iškerpa jas iš abiejų pusiuų susidaro maždaug 12 nukleotidų tarpas. DNR polimerazė I užpildo šį tarpą nukleotidais komplementariais likusiems DNR vijoje. Galiausiai DNR ligazė užsiuva trūkius atstatytoje DNR grandinėje. Adaptuota iš [A. Sancar and W. D. Rupp, Cell, 33, 249-260 (1983)].

ilgio) yra pagaminami nuo *polA* priklausomu būdu, tuo tarpu ilgi lopai (200-1500 nukleotidų ilgio) – nuo *recA* priklausomu būdu.

Remiantis eksperimentiniais duomenimis apie postreplikacinio atstatymo būdus, buvo pasiūlytas nuo *recA* priklausantis nukleotidų ER modelis (6.16 pav.). Pagal šį modelį, nuo



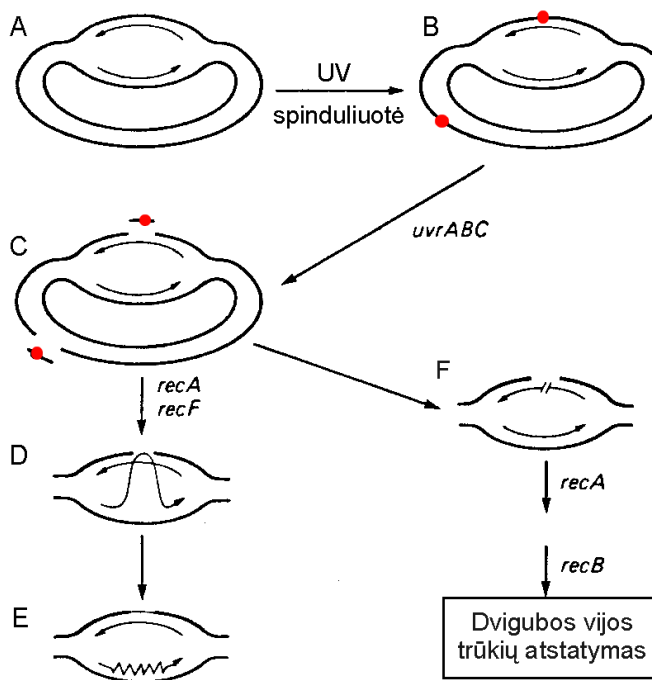
6.15 pav. Genetinė ir fiziologinė kontrolė skirtingu procesų vykstančių nukleotidų ER metu *E.coli* laštelėse. Dauguma iškirptų tarpų yra atstatomi nepriklausančiu nuo auginimo terpės būdu, dalyvaujant DNR polimerazei I (*polA*). Toks atstatymas vyksta pagal 6.10 paveiksle pavaizduotą mechanizmą. Nedidelė dalis tarpų yra atstatomi nuo auginimo terpės priklausančiu būdu, dalyvaujant *recA* geno produktui. Manoma, kad pastarasis atstatymo būdas veikia tik replikuotoje chromosomos dalyje. Chloramfenikolis (CAF), dinitrofenolis (DNF) ir negrynas agaras inhibuoja nuo augimo terpės priklausanti atstatymo mechanizmą. Pritaikyta iš [D.A.Youngs et. al., J.Bacteriol. 117, 717-752 (1974)].

žinduolių laštelėse atskleidė, kad yra tiesioginė priklausomybė tarp karcinogenės ir sutrikdyto DNR atstatymo mechanizmo. Klaidos DNR atstatyme dažniausiai yra priežastis, lemianti DNR mutacijų atsiradimą, kurios salygoja lašelių karcinogenezę. DNR atstatymas iškerpant yra daug tikslesnis, negu postreplikacinis pažaidų atstatymo mechanizmas.

recA priklausantis nukleotidų ER vyksta tik replikuotose chromosomos dalyse, kur egzistuoja seseriniai dupleksai, ir kur gali vykti intrachromosomalė rekombinacija (6.16 pav.). Dauguma nuo *recA* priklausančių ER priklauso ir nuo *recF*, ir tik maža dalis priklauso nuo *recB*. Manoma, kad genų *recF* ir *recB* produktų atliekamos funkcijos nuo *recA* priklausančiam ER mechanizme yra panašios į jų funkcijas postreplikaciame atstatyme, ir svarbios replikuotoje prieš UV švitinimą chromosomos dalyje. Dalyvaujant RecF, iškirpti tarpai atstatomi per rekombinaciją, kurios metu susiformuoja ilgi “lopai” (6.16 pav. C-E), o RecB būdu atstatomi DNR dvigubos spiralės trūkiai, kurie atsiranda neatstatytuose tarpuose (6.16 pav. F).

ER mechanizmo tyrimai

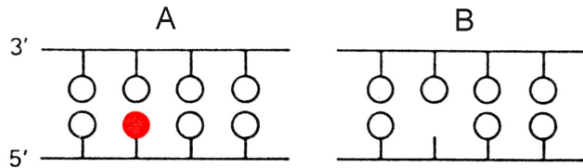
Bazių ER metu, fermentai, vadinami DNR glikosilazėmis, atpažįsta pakitusias bazes (pvz. timino glikolį, 3-metiladeniną, uracilą, hidrometiluracilą, hipoksantiną, šlapalaą). Šie fermentai hidrolizuoją N-glikozilinę jungtį, kuri jungia bazę prie cukraus DNR karkase, taip pašalindami pakitusią bazę. Vieta, iš kurios buvo pašalinta bazė, vadinama AP centru



6.16 pav. Nuo *recA* priklausančio nukleotidų ER atstatymo schema. Veikiant UV, pažaidos gali atsirasti tiek replikuotose, tiek nereplikuotose chromosomos dalyse (A, B), tačiau tik iš replikuotų chromosomos dalių iškirpti tarpai (C) gali būti atstatyti intrachromosominės replikacijos būdu, kuris priklauso nuo *recF* (D). Šio proceso metu susidaro tarpas homologiniame seseriniame duplekse (vingiuota linija), kuris užpildomas replikacijai naudojant priešingą motininę viją (E). Jei dukterinė vija, priešinga iškirptam tarpui, yra sutraukoma (-/-, F) atsiradės dvigubos vijos trūkis atstatomas nuo *recB* priklausančio proceso metu. Pritaikyta iš [K.C. Smith, R.C. Sharma, *Mutation Res.*, 183, 1-9 (1987)].

(apurininiu arba apirimidininiu). Bazių ER mechanizmas schemiškai parodytas 6.17 pav. AP centrali tampa substratu AP endonukleazėms, kurios būna dviejų tipų. Vieno tipo endonukleazės įkerpa DNR ties AP centru iš 5' galo, o kito tipo endonukleazės – iš 3' galo. Iškirptas DNR tarpas atstatomas taip pat, kaip ir anksčiau aprašytame nukleotidų ER procese.

Postreplikacinis atstatymas. Pirmasis patvirtinimas, įrodantis kad ER nėra vienintelis DNR fotopažaidų atstatymo mechanizmas vykstantis tamsoje, buvo gautas pastebėjus, kad bakterijoms sutrikdžius abu, tiek nuo *uvrA*, tiek nuo *recA* priklausančius DNR atstatymo iškerpant mechanizmus, jos yra daug jautresnės UV spinduliuotei, negu bakterijos, turinčios tik vieną iš šių mutacijų. Šie tyrimai leido spėti, kad *uvrA* ir *recA* genai veikia skirtinges



6.17 pav. Pirminiai žingsniai bazų atstatymo iškerpant procese. Pakitusią bazę (raudonas apskritimas) atpažista fermentas DNR glikozilazė. Bazė pašalinama iš DNR hidrolizuojant N-glikozilinį ryšį, kuris jungia bazę prie cukraus. Pašalintos bazės vieta (B) vadinama AP centru (žr. tekštą). Sekančiuose žingsniuose (neparodyta), AP endonukleazė iškerpa DNR karkasą ties AP centru, o susidaręs DNR tarpas atstatomas tokiu pat būdu, kaip aprašytame nukleotidų ER procese.

atstatymo modelis, buvo pastebėjimai, kad (1) iš karto po UV apšvitinimo *E. coli* sintetinama DNR yra su trūkiais ir (2) naujai sintetinamos DNR vidutinis ilgis yra artimas vidutiniams atstumui tarp pirimidino dimerų pradinėje grandinėje. Po tolimesnės lastelių inkubacijos, dukterinėse DNR grandinėse trūkiai dingsta ir DNR dydis atitinka kontrolinių (neapšviestų) DNR dydį. Postreplikacinio atstatymo procesas schemiškai parodytas 6.18 paveiksle.

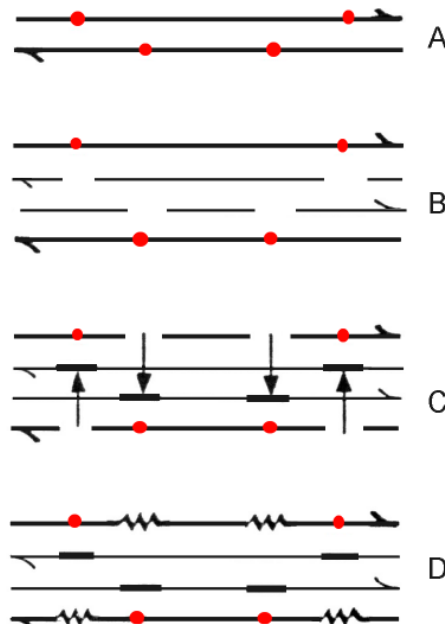
Nors aprašytieji DNR atstatymo iškerpant (ER) mechanizmai daugiausia buvo tiriami bakterijose, tačiau visi šie DNR pažaidų taisymo metodai veikia ir žmogaus organizme.

6.2. Amino rūgščių ir baltymų fotochemija

Baltymų fotochemija prasideda nuo chromoforinių aminorūgščių, kurios daugiausia atsakingos už šviesos sugertį, fotochemijos. Kaip jau buvo minėta, baltymuose pagrindiniai chromoforai, sugeriantys ilgesnių bangų kaip 240

biocheminio atstatymo būdus, ir kad tam tikri žingsniai genetinės rekombinacijos metu yra svarbūs atstatant fotopažaidas. Postreplikacinių atstatymų atrado 1968 m. Rupas (Rupp) ir Hovardas-Flandersas (Howard-Flanders) tirdami lastelės su sutrikdytu ER mechanizmu.

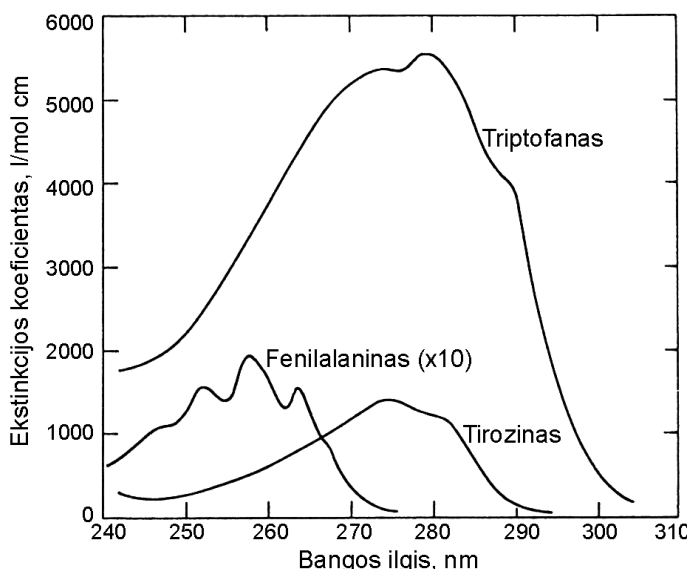
Eksperimentiniai rezultatai, kuriais remiantis buvo sudarytas postreplikacinių



6.18 pav. Postreplikacinis DNR dukterinės vijos trūkių atstatymas *E. coli* lastelėse po UV apšvitinimo. Raudoni taškai žymi susidariusias fotochemines pažaidas abiejose DNR vijose (A). DNR sintezuojama iki pažaidos, praleidžiama pažeista motininės vijos vieta, paliekant tarpą dukterinėje vijoje (B). Tarpas dukterinėje vijoje užpildomas rekombinacijos būdu, panaudojant medžiagą iš motininės vijos (C). Šis procesas yra priklausomas nuo recA geno. Tarpai motininėse vijose yra atstatomi replikacijos būdu (D). Pritaikyta iš [K.C.Smith, Photophysiol., 6, 209-278 (1971)].

nm spinduliuotę, yra aromatinės amino rūgštys – triptofanas, tirozinas ir fenilalaninas (6.19 pav), nedidelį indėlį sugerties spektre turi histidinas, cistinas ir peptidinis ryšys. Karboksilo ir amino grupės sugeria trumpesnes negu 240 nm UV bangas. Be to, visos amino rūgštys intensyviai sugeria UV bangas trumpesnes negu 200 nm.

Aromatinių aminorūgščių fotochemija. Iki 1960 metų buvo manoma, kad veikiant UV spinduliuotei, pagrindinis procesas, vykstantis aromatinėse aminorūgštyste, yra ryšių



6.19 pav. Aromatinių aminorūgščių vandeninių tirpalų sugerties spektrai. Šios trys amino rūgštys yra pagrindinės, sugeriančios ilgesnių kaip 240 nm bangų spinduliuotę. Histidino sugerties maksimumas yra ties 211 nm. Cistinas turi intensyvią sugerties juostą ties 207 nm ir silpną ties 250 nm.

nutraukimas. Tačiau vėlesni impulsinės fotolizės eksperimentai atlikti su vandeniniais aminorūgščių tirpalais atskleidė, kad svarbiausias pirminis vyksmas yra fotojonizacija (elektronų išmušimas) [Grossweiner *et. al.*, 1963]. Tirozino vandeninio tirpalo impulsinės fotolizės spektruose aptiktas fenoksilo tipo aromatinis laisvasis radikalas (Tyr^{\cdot}), susidaręs nutraukus fenolo OH ryšį, taip pat spektre buvo stebima intensyvi, trumpai gyvuojanti, plati sugerties juosta

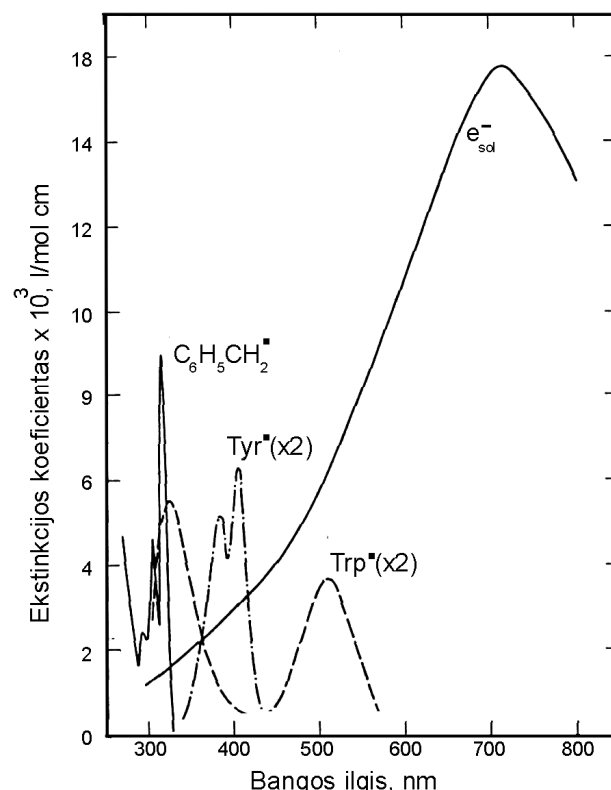
raudonoje spektro srityje (6.20 pav.). Triptofano spektre buvo matoma kitokia, aromatinio radikalo (Trp^{\cdot}) sugertis, bei tokia pati sugerties juosta raudonojoje spektro dalyje (6.20 pav.). Fenilalanino vandeninio tirpalo impulsinės fotolizės spektre aptikta benzilo radikalo ($\text{C}_6\text{H}_5\text{CH}_2^{\cdot}$) sugerties ir “raudonoji” juostos. “Raudonoji” juosta buvo stebima tik trumpą laiko tarpą ($<1\mu\text{s}$) po impulso ir nesusidarydavo, jei tirpale būdavo deguonies, vandenilio peroksono arba azoto suboksono. Iš to sekė išvada, kad visuose apšviestuose aromatinių amino rūgščių tirpaluose susidaro “hidratuotas” elektronas. Hidratuotas elektronas yra kvazi-laisvas elektronas, pagautas dėl savo elektrinio krūvio ir vandens dipolių sąveikos. Hidratuotas elektronas yra nestabilus, greitai reaguoja su deguonimi, sudarydamas superoksono radikalo anijoną ($\text{O}_2^{\cdot-}$), vandenilio peroksono pirmtaką. Vėlesnais tyrimais pademonstruota, kad aromatinių rūgščių vandeniniuose tirpaluose fotojonizacija vyksta ir esant įprastiems šviesos intensyvumams [Creed, 1984].

Stabilūs triptofano vandeninio tirpalo produktai, susidarantys po UV švitinimo yra triptaminas, N-formilkinureninas (NFK), kinureninas, alifatinės amino rūgštys ir amoniakas. NFK susidarymas baltymų fotolizės metu svarbus todėl, kad šis triptofano oksidacijos produktas gali elgtis kaip fotosensibilizatorius, veikiant ilgesnių bangų UV spinduliuotei, pvz., NFK gali būti atsakingas už akių lėšuko senėjimą [Grossweiner, 1984]. Tirozino vandeninio tirpalo fotolizės metu susidaro daug produktų, pvz., dihidroksifenilalaninas (DOPA, melanino sintezės pradmuo), ditirozinės, alifatinės aminorūgštys ir amoniakas. Stabilūs vandeninio fenilalanino tirpalo fotoproductai yra tirozinės ir kiti fenoliai, išskaitant DOPA, alifatinius junginius ir amoniaką.

Cistino, histidino ir peptidinio ryšio fotochemija. Nors cistino sugertis yra silpna, tačiau jis yra ypatingai svarbus baltymų fotochemijoje, nes cistino fotolizės kvantinis našumas yra aukštas, ir tai gali salygoti disulfidinių tiltelių trūkius baltyme. Stabilūs cistino fotolizės produktais yra sulfhidrilas, disulfidas, alifatiniai dariniai ir vandenilio sulfidas [D. Creed, 1984]. Pirminiai galimi vyksmai baltyme yra S-S jungties nutraukimas, susidarančios RS[•] tipo radikalams, ir C-S jungties iširimas, susidarančios -S-S[•] tipo radikalams. Hidratuoti elektronai labai greitai reaguoja su cistinu, sudarydami radikalo anijoną, kuriamas elektronas laikinai pagaunamas S-S jungties.

Histidino sugertis yra labai silpna UV srityje, kurios $\lambda > 240$ nm, todėl jo vaidmuo baltymų fotochemijoje nėra svarbus. Tačiau protonuota imidazolo grupė yra gera elektronų gaudyklė ir gali sugauti šviesa išmuštus elektronus iš aromatinių grupių.

Peptidinė jungtis taip pat silpnai sugeria ilgesnių bangų UV spinduliuotę, tačiau baltymuose, kuriuose nėra aromatinių aminorūgštcių, pvz., želatinoje, jai gali tekti gana



6.20 pav. Sugerties spektrai trumpai gyvuojančių darinių, identifikuotų impulsinės fotolizės būdu vandeniniuose amino rūgščių tirpaluose: Tyr^{\cdot} – tirozino radikalas, $C_6H_5CH_2^{\cdot}$ – benzilo radikalas, e^-_{sol} – solvatuotas elektronas.

svarbus vaidmuo. Peptidinė jungtis gali būti elektronų gaudykle, be to, ja gali keliauti elektronai iš sužadintų aromatinių liekanų į cistiną ir histidiną.

Balymų fotochemija. Apšvietus UV spinduliuote vandeninį balymo tirpalą, pasikeičia beveik visos jo fizikinės ir cheminės savybės: sugerties spektras, optimis aktyvumas, tirpumas, katalitinis aktyvumas ir kiti parametrai. Tačiau bandymai susieti šiuos pokyčius su pradinėmis fotocheminėmis reakcijomis daugeliu atvejų yra nesėkmingi dėl sudėtingos balymų struktūros. “Bespalvio” balymo sugerties spektrą UV srityje paprastai sudaro intensyvi juosta ties 180-220 nm ir “aromatinė” juosta ties 280 nm. Balymų sugerties spektras panašus, tačiau neidentiškas į balymą sudarančių amino rūgščių mišinio spektrą. Šie skirtumai salygoti peptidinio ryšio ir sąveikos tarp amino rūgščių liekanų. Tačiau, pirmuoju artutinumu galima iškelti prielaidą, kad šviesos dalis, sugerta tam tikros aminorūgšties, esančios balyme, gali būti įvertinta, žinant jos koncentraciją balyme ir jos ekstinkcijos koeficientą vandeniniame tirpale. Tačiau aminorūgšties liekanos fotochemija balyme gali žymiai skirtis nuo aminorūgšties fotocheminių virsmų vandenyje. Galimos šių skirtumų priežastys yra:

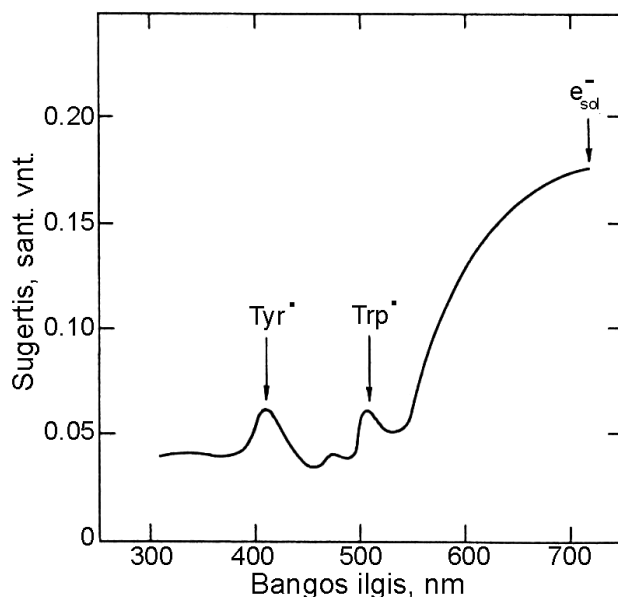
1. Sužadinimo energija gali būti perduodama tarp aromatinių rūgščių Fiorsterio mechanizmu tokiu nuoseklumu: fenilalaninas → tirozinas → triptofanas.
2. Elektronai, sugeneruoti aromatinių rūgščių fotojonizacijos metu, gali migruoti ir reaguoti skirtinguose vietose.
3. Fotolizinis disulfidinių tiltelių suardymas gali pakeisti balymo konformaciją, gali vykti balymo denatūracija.

Dėl apribotos difuzijos aminorūgščių liekanų pažaidos balyme gali būti stabilesnės nei laisvose aminorūgštyste.

Vandeninių balymų tirpalų spektruose, išmatuotose impulsinės fotolizės metu, aptiktos aromatinių laisvujų radikalų juostos, panašios į stebėtas tirozino ir triptofano vandeniniuose tirpaluose, taip pat stebėta ir hidratuoto elektrono sugerties juosta (6.21 pav.). Tyr[•] (410 nm), Trp[•] (510 nm) ir hidratuoto elektrono (720 nm) sugerties juostos buvo stebimos daugelyje balymų, kurių sudėtyje buvo aromatinių rūgščių liekanų, spektrų. Balymų su cistino lieknomis (pvz., lizocimas, papainas ir tripsinas) impulsinės fotolizės spektruose stebėta juosta ties 420 nm, kuri buvo priskirta disulfido elektrono aduktui.

Šie rezultatai atskleidė, kad balymuose dominuojančios pirminės fotocheminės reakcijos yra aromatinių rūgščių fotojonizacija ir laikinas elektrono pagavimas. Disulfido elektrono adukto juosta nebuvo nuslopinta, įsotinus tirpalą deguonimi ar azoto suboksidu, kurie greitai reaguoja su hidratuotais elektronais. Tai įgalino manyti, kad elektronai atkeliauja

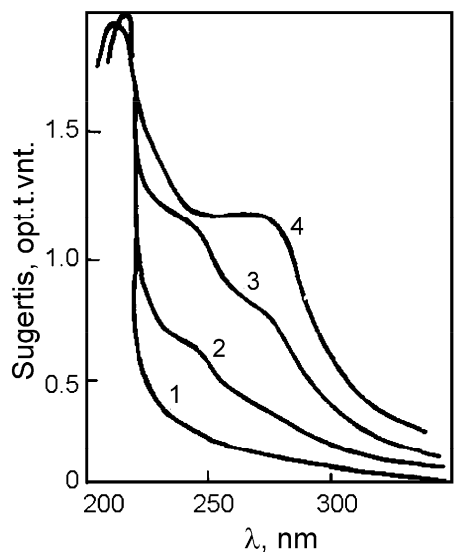
iš aromatinių rūgščių liekanų į disulfidinį tiltelį tarpmolekulinės sąveikos būdu, o ne per vandens molekules.



6.21 pav. Vandeninio subtilisino BPN' tirpalas, iš kurio buvo pašalintas oras, sugerties spektras, gautas impulsinės fotolizės būdu (spektras užregistruotas po 100 ns užlaikymo, lazerinio impulso (256 nm) trukmė 17 ns. Spektre nurodyti oksiduotų triptofano Trp^{\bullet} ir tirozilo Tyr^{\bullet} liekanų bei hidratuotų elektronų e^-_{sol} sugerties smailės. Šio baltymo sudėtyje yra 3 triptofanilai, 10 tirozinilai ir nei vienos cistino liekanos. Spektre stebimos sugerties juostos atskleidžia, kad kai kurios triptofanilo ir tirozinilo liekanos buvo fotojonizuotos, o išmušti elektronai buvo stabilizuoti vandeninėje terpjėje hidratuotų elektronų būsenoje. Be to, paveikus lazerine spinduliuvote, baltymas prarado fermentinių aktyvumą, nors nei viena triptofano nei tirozino liekanų nėra išsidėsciusi šalia aktyvaus centro. Tuo remiantis buvo padaryta išvada, kad vienos triptofano liekanos fotolizė galėjo sukelti nedidelius baltymo konformacijos pokyčius, kurie apsunkino fermento jungimąsi prie substrato. Pritaikyta iš [A. Blum, L.I Grossweiner, Photochem. Photobiol. 36, 617-622 (1982)].

6.3. UV poveikis kitoms biomolekulėms

UV spinduliuvote gali sukelti ir kitų biomolekulių pažaidas. Lipidai yra plati vandenye netirpių biomolekulių klasė, kuriai priskiriami riebalai, vaškai, fosfolipidai, glikolipidai ir steroidai. Svarbiausių vaidmenį fotobiologijoje atlieka fosfolipidai, kadangi jie kartu su baltymais yra pagrindiniai ląstelių membranų struktūriniai komponentai. Fosfolipidai yra sudaryti iš fosforo rūgšties likučio – polinės dalies ir riebalų rūgščių – hidrofobinės dalies. Riebalų rūgštys, įeinančios į fosfolipidų sudėtį, gali būti sočiosios arba nesočiosios (turinčios dvigubą C=C jungtį).

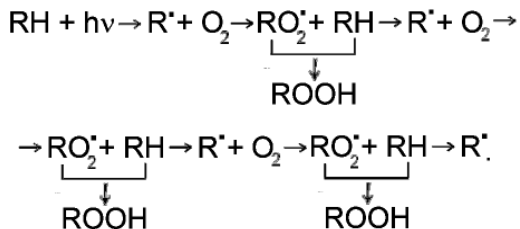


6.22 pav. Fosfolipidų suspensijos sugerties spektrai, švitinant UV spinduliuote: 1-nešvitinus, 2, 3, 4- po 1, 2 ir 22 min švitinimo, atitinkamai.

Dažniausiai lipidai sugeria trumpesnių bangų spinduliuotę negu baltymai ar nukleino rūgštys. Nesočiujų rūgščių sugerties smailė yra ties 200 nm. Veikiant UV spinduliuote, lipidai oksiduoja, be to, egzistuoja tiesioginė koreliacija tarp riebalų rūgšties oksidacijos ir jos įsotinimo laipsnio.

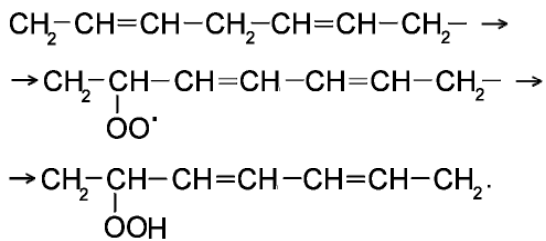
Dėl UV spinduliuotės sukeltos oksidacijos susidaro riebiųjų rūgčių hidroperoksidai. Dienų (riebalų rūgštis, turinti dvi C=C jungtis) ir trienų (trys C=C jungtys) peroksidų susidarymą lydi nauju sugerties smailių, atitinkamai, ties 233 nm ir 270 nm, susidarymas (6.22 pav). Tokių reakcijų kvantinis našumas gerokai viršija vienetą, pvz., etillinoleatui – 90. Tai reiškia, kad kartu su fotooksidacija vyksta ir grandininė laisvaradikalinės prigimties

savioksidacijos reakcija. Taigi, visą lipidų fotooksidacijos mechanizmą galima būtų pavaizduoti tokia schema:

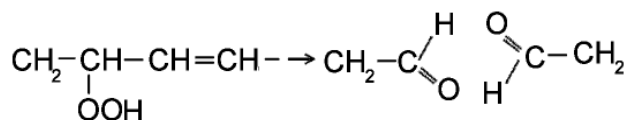


Spinduliuotė, sukurusi laisvąjį radikalą R[•], sukelia grandininę peroksidacijos reakciją; R[•] sąveikaudamas su deguonimi, virsta peroksido radikalu RO₂[•], kuris reaguoja su riebosių rūgšties molekule RH. Tuomet vėl atsiranda radikalas R[•] ir susidaro hidroperoksidų molekulė. Pirminė fotocheminė reakcija, kurios metu susidaro radikalas R[•], yra elektrono arba vandenilio jungties nutraukimas nuo anglies atomo riebiojoje rūgštyje. Energijos požiūriu, šviesos kvanto ($\lambda = 240$ nm) energijos, kurios vertė apie 120 kcal/mol, visiškai pakanka bet kokios C-H jungties riebosiose rūgštyste suardymui. Sočiuose junginiuose su ilga grandine C-H jungties energija yra 93 kcal/mol, nesočiuose junginiuose C=C jungties energija – 89 kcal/mol, o anglies, esančios α padėtyje prie C=C jungties, ryšio energija yra 77 kcal/mol. Taigi, esant toms pačioms salygoms, labiau tikėtinas pastarosios C-H jungties nutraukimas.

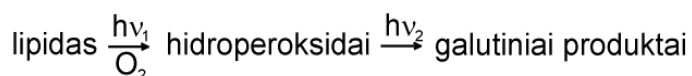
Nesociose rūgštyse, susidarius RO_2^\cdot ir ROOH , $\text{C}=\text{C}$ jungtis persislenka, ir atsiranda tokia dvigubų jungčių konjuguota sistema:



Susidarę hidroperoksidai toliau patiria cheminius virsmus, pirmiausia grandinės nutrūkimą, kol galiausiai susidaro stabilūs produktai, dažniausiai aldehidai:



Manoma, kad stabilių produktų susidarymas vyksta dalyvaujat antram šviesos kvantui.



Taigi, dviejų fotonų sugerties reikalaujantis, dviejų žingsnių lipidų fotoperoksidacijos mechanizmas yra priklausomas nuo aktininės (poveikį sukeliančios) spinduliuotės bangos ilgio: trumpabangė UV šviesa salygoja hidroperoksidų susidarymą, o ilgabangė spinduliuotė, kurią intensyviai sugeria hidroperoksidai, padeda susidaryti galutiniams produktams (aldehydams).